

# DELTA

Abteilung 2  
Leiter

Berlin, 28. April 1990

## Stand der Entwicklungsarbeiten DELTA

(Anmerkung: Im Rahmen der Entwicklungsarbeiten erwies es sich als arbeitsmethodisch günstig, eine Chiffrieralgorithmusklasse zu definieren. Um Verwechslungen auszuschließen, erhielt sie die Bezeichnung DELTA. Deshalb erfolgt die Weiterführung der Arbeiten zu LAMBDA 2 unter der Bezeichnung DELTA.)

Ziel der Entwicklung ist es, einen 64-Bit Blockchiffrieralgorithmus gemäß ISO 8372 zu entwickeln, der für Staatsgeheimnisse einsetzbar ist. Die Strukturierung sollte zu einem schnellen Algorithmus für 16-Bit Prozessoren führen.

### Ergebnisse:

1. Mit einer „Vorläufigen Beschreibung der Chiffrieralgorithmusklasse DELTA“ ist der Rahmen für die weitere Entwicklung und Analyse des Algorithmus vorerst abgesteckt.
2. Eine Analysekonzeption wurde erarbeitet. Die geplante Aufgaben werden voraussichtlich die Hauptkapazität von Ref. 21 mindestens für das Jahr 1990 binden.
3. Die Analysearbeiten werden ständig präzisiert, Ergebnisse finden in der Entwicklung des Algorithmus bzw. in der Festlegung seiner Parameter ihren Niederschlag.
4. Analytische Untersuchungen, z.B. zur Gruppeneigenschaft der Chiffrierabbildung, sind angelaufen, erste Ergebnisse liegen vor.
5. Erste Programme für experimentelle Untersuchungen wurden erarbeitet. Sie werden vorerst zur Analyse von LAMBDA 1 eingesetzt, danach zur Analysen von Algorithmusversionen aus DELTA.

### Probleme:

1. Eine möglichst verbindliche Aussage über die beabsichtigten Einsatzbedingungen (Hardware, Software, Zeitforderungen für die Chiffrierung) ist erforderlich. Sie könnte die Konstruktion des Chiffrieralgorithmus beeinflussen.

Weiter Unterstützungshandlungen und Koordinierungen zum Thema sind vorerst nicht absehbar.

Killmann  
Major d. VP

Vorläufige Beschreibung der Chiffrieralgorithmusklasse  
D E L T A

1. Einleitung

Die im Punkt 2 definierte CA Klasse kann in den standardisierten Arbeitsmoden für 64-Bit Blockchiffrieralgorithmen gemäß ISO 8372 angewandt werden.

Die Strukturierung soll zu einem schnellen Algorithmus für 16-Bit Prozessoren führen und gleichzeitig bei richtiger Anwendung die notwendige Sicherheit bieten.

Bezeichnungen sind für alle kryptanalytischen Arbeiten im Referat verbindlich.

Die Beschreibung ist nicht vollständig, sie will aber zur Standardisierung und somit zur Effektivität der Arbeit beitragen. Im Zuge der Entwicklungs- und Analysearbeiten erfolgen weitere Präzisierungen. Änderungen sind möglich.

Die Beschreibung der Arbeitsweisen im CBC und CFB Modus erfolgen später.

2. Definitionen

2.1. Bezeichnungen

$i, j, k, t$  Indizes,  $T \in \mathbb{N}$

$\forall m \in \mathbb{N}: V_m =: \{0, 1\}^m$

$R_1, R_2, R_3, R_4$  Register zu je 16 Bit

$\forall (i, t) \in \{1, 2, 3, 4\} \times \{0, 1, \dots, T\}$

$a^i(t) \in V_{16}$

Inhalt des Registers  $R_i$   
zum Zeitpunkt (Takt)  $t$

$$a(t) = \begin{pmatrix} a^1(t) \\ \vdots \\ a^i(t) \\ \vdots \\ a^j(t) \\ \vdots \\ a^{16}(t) \end{pmatrix} \in V = 1$$

wobei  $a^i(t) \in \{0, 1\}^{16}$

Im weitern gilt  $k \in \{1, 2, 3\}$

beliebig, aber fest.

Sei  $X(t) \in V_{k \cdot 16}$

$$X(t) = \begin{pmatrix} x^1(t) \\ \vdots \\ x^j(t) \\ \vdots \\ x^{k \cdot 16}(t) \end{pmatrix},$$

wobei  $x^j(t) \in \{0, 1\}^{16}$

2.2 Die Abbildung  $\Phi_K$

$$\Phi_K: V_{16} \times V_{16} \times V_{16} \times V_{k \cdot 16} \rightarrow V_{16}$$

( $\Phi_K$  wird ggf präzisiert. Die Abbildung sollte sich aus Operationen zusammengesetzt, die schnell EDV mäßig verarbeitbar sind. z. B.

$\boxplus$  Addition mod  $2^{16}$

$\boxtimes$  Addition mod  $2^{16} - 1$

- $\oplus$       bitweise Addition mod 2 (blockweise)
- $\wedge$       bitweise and                      (blockweise)
- rot**      zyklische Verschiebung links oder rechts
- P**      Permutation  $V_{16} \rightarrow V_{16}$
- Negation

2.3 Beschreibung einer Runde der Arbeitsweise des Blockchiffrieralgorithmus

Abbildung D:  $V_{64} \times V_{K*16} \rightarrow V_{64}$

$\forall t \in 0, T-1 :$

$X(t)$        $(a^1(t+1), a^2(t+1), a^3(t+2), a^4(t+1)) = D((a^1(t), a^2(t), a^3(t), a^4(t)),$

wobei gilt  $a^1(t+1) = a^2(t)$

$a^2(t+1) = a^3(t)$

$a^3(t+1) = a^4(t)$

$a^4(t+1) = a^1(t) \oplus \Phi K((a^2(t), a^3(t), a^4(t), X(t)))$

Abbildung  $D^{-1} : V_{64} \times V_{K*16} \rightarrow V_{64}$

$\forall t \in 0, T-1 :$

$^1(a^1(t), a^2(t), a^3(t), a^4(t)) = D^{-1}(a^1(t+1), a^2(t+1), a^3(t+1), a^4(t+1)), X(t)$

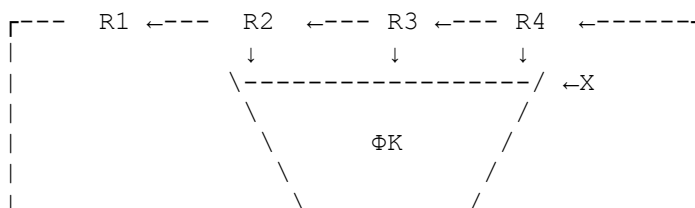
wobei gilt:  $a^1(t) = a^4(t+1) \oplus \Phi K(a^1(t+1), a^2(t+1), a^3(t+1), X(t))$

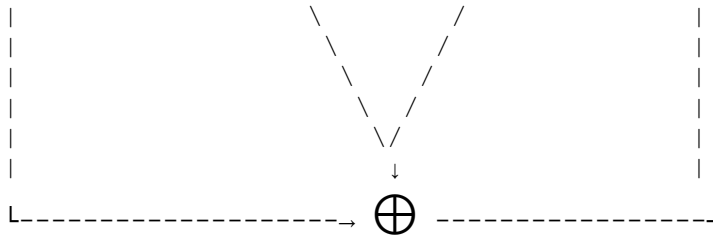
$a^2(t) = a^1(t+1)$

$a^3(t) = a^2(t+1)$

$a^4(t) = a^3(t+1)$

Skizze:





## 2.4 Anzahl der Schlüsselemente und Anzahl der Runden

Es wird vorerst auf eine Schlüssellänge von 256 Bit auf 32 Runden orientiert.

Sollten Algorithmen dieser Klasse auf der Ebene unterhalb von Staatsgeheimnissen eingesetzt werden, dann sind z. B. auch 128 Bit Schlüssellänge und 16 Runden denkbar.

In der Abb.  $\Phi$  sollte ein hinreichend großer LZS wirken.

## 3. Bezeichnungen für die Analyse

### 3.1. MEDWEDJEV-Automat $A = A_k(\text{Par.}, n)$

Par.-Bezeichnung für den variablen Parameter, der durch die Wahl eines LZS fixiert wird.

Eingabemenge  $V$   
 $K \cdot 16$

Zustandsmenge  $V_{64}$

Überföhrungsfunktion:  $\delta: V_{k \cdot 16}^n \times V_{64} \rightarrow V_{64}$

$\forall (X(t))_{t=1}^n \in V_{k \cdot 16}^n \quad \forall a \in V_{64} \quad \delta((X(t))_{t=1}^n, a) \in D^n$

partielle Überföhrungsfunktion:

$D^n(X(1), X(2), \dots, X(n)) a =: \delta_{(X(1), X(2), \dots, X(n))}$

wobei  $D^n(X(1), X(2), \dots, X(n)) a =: (D(X(n), D(X(n-1), \dots, D(X(1), a) \dots))$

Gruppe des Automaten

$G_A =: \langle \{ \delta_{(X(1), X(2), \dots, X(n))} \mid \{ X(1), X(2), \dots, X(n) \in V_{k \cdot 16}^n \} \rangle$

Anlage 1  
 Varianten für den DELTA-Algorithmus  
 (gleichzeitig Beschreibung des ECB Modus)

Sei  $a$  der Klartextblock mit 64 bit und  $c$  der Geheimtextblock mit 64 bit d.h.  $a \in V_{64}$ ,  $c \in V_{64}$

Variante DELTA 1\1

$$n = 64$$

$$S \in V_{256}$$

$$S = (s_1, \dots, s_{256}), \quad \text{wobei } \forall i \in 1, 256 : s_i \in (0, 1)$$

$$t \in 1, 16 : X(t) = (s_{(t-1)16+1}, \dots, s_{(t-1)16+16})$$

$$t \in 17, 64 : X(t) = \mathbf{rot}(7R) X(t-16)$$

$$\Phi_1(a^2(t), a^3(t), a^4(t), X(t)) =: \mathbf{rot}(3L) P\{[a^2(t) \boxtimes a^3(t)] \oplus [a^4(t) \boxtimes X(t)]\}$$

Die Chiffrierabbildung:

$$c =: D^{64} [X(1), X(2), \dots, X(64)] a$$

Die Dechiffrierabbildung:

$$a =: D^{-64} [X(64), X(63), \dots, X(2)] c$$

Variante DELTA 1\2

$$n = 64$$

$$S \in V^{256}$$

$$S = (s_1, \dots, s_{256}), \quad \text{wobei } \forall i \in 1, 256 : s_i \in \{0, 1\}$$

$$t \in 1, 16 : X(t) = (s_{(t-1)16+1}, \dots, s_{(t-1)16+16})$$

$$t \in 17, 64 : X(t) = \mathbf{rot}(7R) X(t-16)$$

$\Pi$  - Permutation der 4 16-bit Blöcke:

$$\Pi(a^1(t), a^2(t), a^3(t), a^4(t)) =: a^4(t), a^3(t), a^2(t), a^1(t)$$

$$\Phi_1(a^2(t), a^3(t), a^4(t), X(t)) =: \mathbf{rot}(3L) P\{[a^2(t) \boxtimes a^4(t)] \oplus [a^3(t) \boxtimes X(t)]\}$$

Die Chiffrierabbildung:

$$c =: \Pi \{D^{64} [X(1), X(2), \dots, X(64)] a\}$$

Die Dechiffrierabbildung:

$$a =: \Pi \{D^{64}[X(64), X(63), \dots, X(1)]c\}$$

Varianten für den DELTA-Algorithmus  
(gleichzeitig Beschreibung des ECB-Modus)

Sei  $a$  der Klartextblock mit 64 Bit und  $c$  der Geheimtextblock mit 64 Bit, d. h.  $a \in V_{64}$ ,  $c \in V_{64}$

Variante DELTA 2\1

$$n = 32,$$

$$s \in V_{256}$$

$$S = (s_1, \dots, s_{256}), \text{ wobei } \forall i \in 1, 256 : s_i \in \{0, 1\}$$

$$t \in 1, 8 : X(t) = (s_{(t-1)*32+1}, \dots, s_{(t-1)*32+32})$$

$$t \in 9, 32 : X(t) = \mathbf{ROR}_7 X(t-8)$$

$$t \in 1, 32 : x^1(t) = ((X_1(t)), \dots, (X_{16}(t)))$$

$$x^2(t) = ((X_{17}(t)), \dots, (X_{32}(t)))$$

$$\Phi_2(a^2(t), a^3(t), a^4(t), X(t)) =: \mathbf{P} \{ [a^2(t) \boxtimes a^4(t) \boxtimes X^1(t)] \oplus (\mathbf{ROR}_3 [a^3(t) \boxtimes x^2(t)]) \}$$

Die Chiffrierabbildung:

$$c =: D^{32} [X(1), X(2), \dots, X(32)] a$$

Die Dechiffrierabbildung:

$$a =: D^{-23} [X(32), X(31), \dots, X(1)] c$$

Variante DELTA 2\2

$$n = 32,$$

$$s \in V_{256}$$

$$S = (s_1, \dots, s_{256}), \text{ wobei } \forall i \in 1, 256 : s_i \in \{0, 1\}$$

$$t \in 1, 8 : X(t) = (s_{(t-1)*32+1}, \dots, s_{(t-1)*32+32})$$

$$t \in 9, 32 : X(t) = \mathbf{ROR}_7 X(t-8)$$

$$t \in 1, 32 : X^1(t) = ((X(t))_1, \dots, (X(t))_{16})$$

$$X^2(t) = ((X(t))_{17}, \dots, (X(t))_{32})$$

$\Pi$  - Permutation der 4 16-Bit Blöcke

$$\Pi (a^1(t), a^2(t), a^3(t), a^4(t)) =: (a^4(t), a^3(t), a^2(t), a^1(t))$$

$$\Phi_2 (a^2(t), a^3(t), a^4(t), X(t)) =: \mathbf{P} \{ [a^2(t) \boxtimes a^4(t) \boxtimes X^1(t)] \oplus \\ (\mathbf{ROR}_3 [a^3(t) \boxtimes X^2(t)] ) \}$$

Die Chiffrierabbildung:

$$c =: \Pi (D^{3 \cdot 2} [X(1), X(2), \dots, X(32)] a)$$

Die Dechiffrierabbildung:

$$a =: \Pi (D^{3 \cdot 2} [X(32), X(31), \dots, X(1)] c)$$

## Anlage 2

Die Arbeitsweise im CBC/CFB Modus und Imitationsschutz.

(Anmerkung: Durch die Beschreibung der Varianten des DELTA Algorithmus in Anlage 1 ist die Arbeitsweise im ECB Modus vollständig beschrieben.)

1. Die Arbeitsweise im CBC Modus ist mit der Beschreibung in ISO 8372 vollständig identisch.
2. Die Arbeitsweise im CFB Modus ist mit der Beschreibung in ISO 8372 vollständig identisch.
3. Für den OFD Modus wird folgendes festgelegt:

$$A(\emptyset), B(\emptyset), E, F, \in V_{32} ; \boxtimes_{32} \text{ Add. mod. } 2^{3 \cdot 2}$$

$$\otimes_{32} \text{ Add. mod. } 2^{3 \cdot 2} - 1$$

$A(\emptyset), B(\emptyset)$  werden aus einem Startvektor SY (SyF) von 64 Bit gebildet

E, F seien Konstanten (ungerade)

Erzeugt werden die Folgen  $A(j), B(j), j \in 1, m, m \in \mathbb{N}$ ;

$$A(j) =: A(j-1) \boxtimes_{32} E$$

$$B(j) =: B(j-1) \otimes_{32} F$$

Weiterhin sei:

$$\forall j \in 1, m: a(j) = (A(j), B(j))$$

Die Additionsreihe  $C(j) j \in 1, m$  ergibt sich durch Anwendung des Chiffrieralgorithmus (im ECB Modus auf die Folge

$$a(j) j \in 1, m.$$

(Die Konstanten E, F sind noch zu präzisieren.)

4. - Durch Anwendung des CBC Modus ist ein gewisser Imitationsschutz gegeben.
  - Falls eine offene Übertragung oder Speicherung der Daten vorgesehen ist, bietet die Speicherung bzw. Übertragung nur des letzten 64-Bit Vektors des im CBC Modus chiffrierten gesamten Textes einen Imitationsschutz. (Ob für diese Version eine Reduzierung der Rundenzahl in der Arbeit des Chiffrieralgorithmus vorgenommen werden kann, bleibt zu Untersuchen.)
  - Die Einbindung einer Imitationsschutzvariante für den Algorithmus muß weiter untersucht und präzisiert werden.

E := 000 1 000 000 1 000 000 1 000 000 1  
 P := 000 000 01 0001 0001 0001 0001 0001 0001

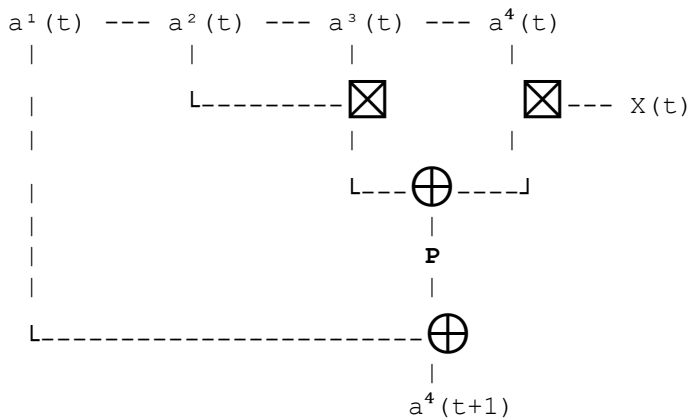
Referat 21

Berlin, 29.5.90

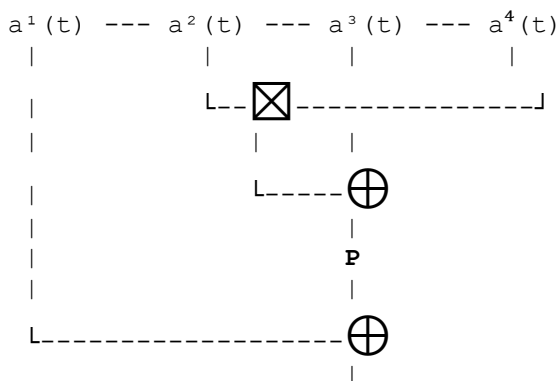
Ergänzung zur Anlage 2, Punkt 3.  
 Vorläufige Variante für E und F

E := (0001 0000 0010 0000 0100 0000 1000 0001)  
 F := (0000 0001 0001 0001 0001 0001 0001 0001)

Version DELTA 1\1



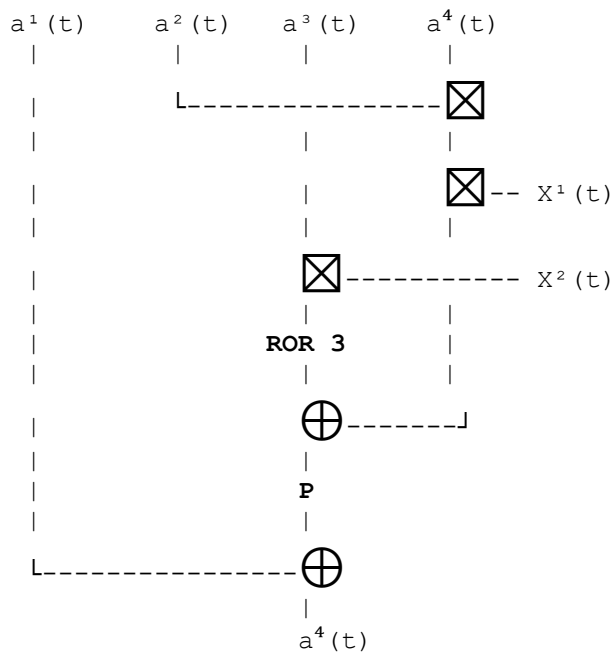
Version DELATA 1\2



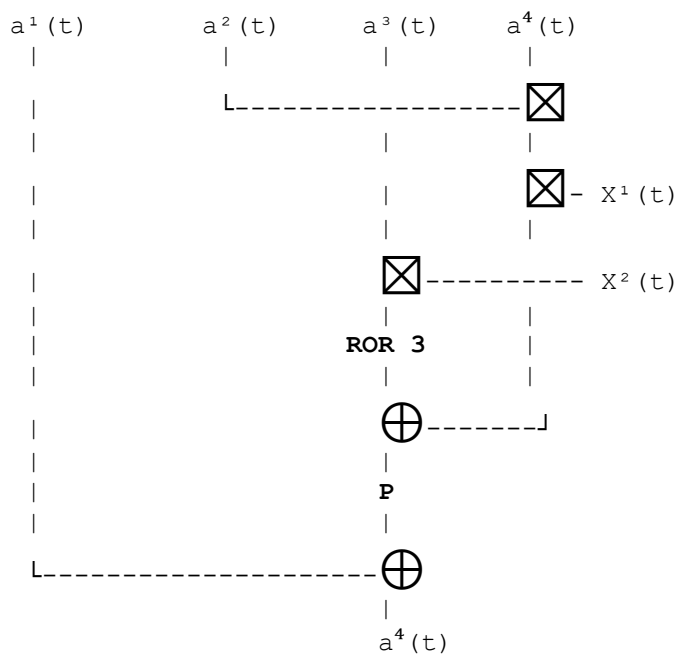


$a^4(t)$

Version DELATA 2\1



Version DELTA 2\2



Abschätzen Laufzeiten

12.7.1990

Anlage	Programm	Korn	$\Delta$ 1\1	44	Befehle
			$\Delta$ 1\2	44	
			$\Delta$ 2\1	60	
			$\Delta$ 2\2	60	
Vergleich			R (9,6 Kbit)	96	
			DES (9,6 Kbit)	85	

Quelle : BStU / Deutschland

R (reine Software) ~200  
DES (reine Software) ~200

gesicherte Aussage für alle Variante DELTA!  
Doppelt so schnell wie die reine Softwarelösung DES  
(z.Z. 12 ms ohne xxx)

2 <= 6 ms (f = 2,5 MHz, Z80)

32 Umläufe

$\Delta 1$  schneller  $\Delta 2$   
 $\Delta 1$  <= 5 - 5,2 ms

16 Umläufe für  $\Delta 2$

~ 3ms 4 x so schnell wie DES, reine Softwarelösung

Programmversion Korn  $\Delta 1 \setminus 1$  Entwurf, ungetestet)  
6L. SYF - Synchronfolge  
6L. KEY - Schlüssel  
6L. Perm1 - Permutation1  
Perm2

Ausgangspunkt:

A - UMLZ  
BC -  $a^4(t)$   
DE -  $a^3(t)$   
HL -  $a^2(t)$   
IX -  $a^1(t)$

Stack:

a2 (t)  
a1 (t)  
a3 (t)  
a4 (t)  
UMLZ

```
MØ:  PUSH AF      ; UMLZ (Umlaufzähler)
      PUSH BC      ; a4 (t)
      PUSH DE      ; a3 (t)
      PUSH IX      ; a1 (t)
      PUSH HL      ; a2 (t)

      LD A,D        ; a2 (t)
      CPL          ; (-)
      ADD H         ; ☒ > a2 (t) ☒ a3 (t)
      LD D,A
      LD A,E
      CPL
      ADC L
      LD E,A

      LD HL, 6L.KEY
      LD A,B
      ADD H
```

```

LD B,A                                > a4(t)  X(t)
INC HL                                |
LD A,C                                |
ADC H                                  |
                                        |
XOR E                                  ;  $\oplus$  a3(t)
LD C,A
LD A,B
XOR D

LD B,A                                ;  $\oplus$  a3(t) Ergebnis in BC

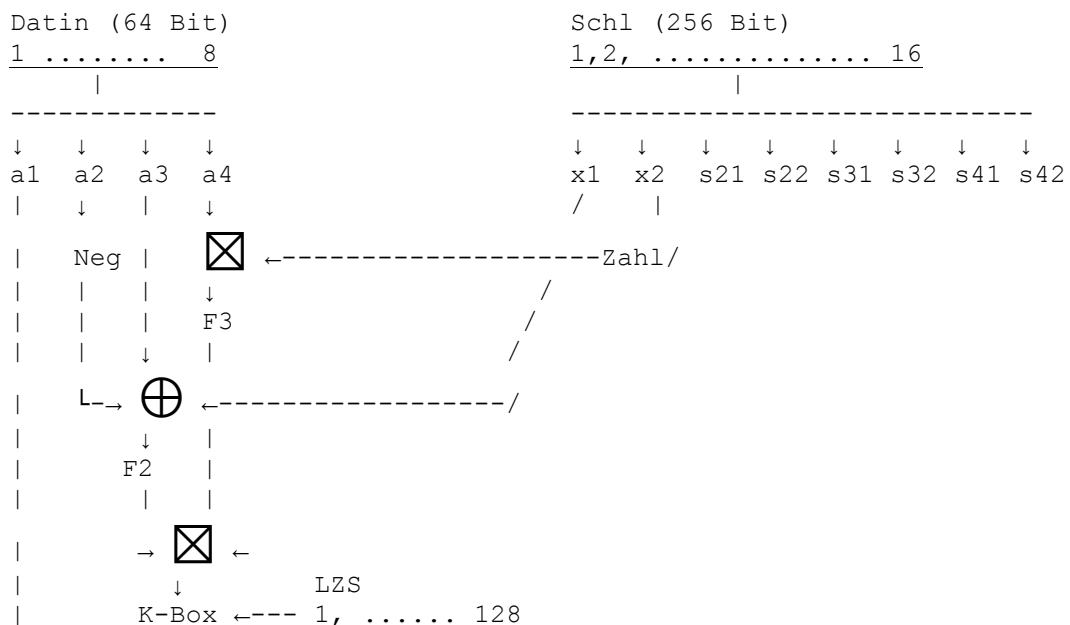
LD H,6L.PERM1 ; Permutation 4 Bit Adresse
LD L, B ; -> 4 Bit Deth.
LD B, H
LD H,6L.PERM2
LD L,C
LD C,H

POP IX
POP DE ; a2(t) a4(t) -> a3(t) -> a2(t) ->
a1(t)

LD A,B

XOR D ; a1(t)  $\oplus$  Ergebnis PERM
LD B,A
LD A,C
XOR E
LD C,A ; in BC neuer Wert a4(t+1)
POP HL ; alt a4(t) a2(t+1)
POP DE ; alt a4(t) a3(t+1)
POP AF
DEC A
JRNZ M0-#
    
```

Versuchsalgorithmus V2 (32 Runden)



Quelle : BStU / Deutschland

